

تنش های حرارتی در دیسک و لنت قطار

اتلاف انرژی (گرمای ناشی از اصطکاک) از طریق دیسک سبب بالا رفتن دمای دیسک می‌گردد. در ترمز گیریهای متعدد توزیع این افزایش دما در سطح دیسک به خاطر تشکیل نقاط داغ بسیار غیر یکنواخت می‌باشد و باعث ناپایداری حرارتی می‌گردد. این نقاط داغ کم رشد کرده و گرمای وارد شده به دیسک در آن‌ها متمرکز می‌گردند. نقاط داغ تشکیل شده به طور پیوسته دچار سایش شده و دمای زیاد نقاط داغ با ایجاد تنش‌های حرارتی زیاد، خستگی حرارتی را بشدت تحت تأثیر قرار داده و باعث ایجاد ترک روی دیسک می‌شوند. با توجه به اهمیت این مسئله در این مقاله جنس‌های مختلف برای دیسک و لنت ترمز در نظر گرفته شده و عملکرد هر ترکیب فرض شده از دیسک و لنت‌های متفاوت مقایسه می‌شود. به منظور صرفه جویی در هزینه‌های تعمیرات و نگهداری و بهبود عملکرد سیستم ترمز، نهایتاً ترکیبات بهینه‌ای برای جنس دیسک و لنت ترمز پیشنهاد می‌شود.

پریسا حسینی تهرانی^۱

دانشیار

خدیجه مرادی^۲

کارشناس

سیمین بال محمدی^۳

کارشناس

واژه‌های راهنمایی: ناپایداری حرارتی، نقاط داغ، تنش‌های حرارتی، دیسک و لنت ترمز

۱- مقدمه

از اجزای مهم ترمز گیری در وسایل نقلیه ریلی، دیسک و لنت می‌باشد از اینرو بررسی جنس لنت و دیسک ترمز و اثرات آن‌ها بر یکدیگر و طول عمر آن‌ها از اهمیت زیادی در صنعت حمل و نقل ریلی برخوردار است. در وسایل نقلیه ریلی موجود در ایران، از انواع لنتهای ترمز به عنوان یکی از اجزای اصطکاکی در سیستم ترمز استفاده می‌شود. مشکلاتی که در اثر استفاده از لنت‌های نامرغوب می‌تواند وجود داشته باشد عبارتند از:

- سایش بیش از حد لنت که باعث کاهش عمر لنت می‌شود
- ایجاد صدای ناهنجار هنگام ترمز گیری
- اثرات و آسیب‌های حرارتی نامطلوب روی سطح دیسک

^۱ نویسنده مسئول، دانشیار، قطب حمل و نقل ریلی، دانشکده مهندسی راه آهن، دانشگاه علم و صنعت Hosseini_t@iust.ac.ir

^۲ کارشناس مهندسی راه آهن، ماشین‌های ریلی، دانشگاه علم و صنعت

^۳ کارشناس مهندسی راه آهن، ماشین‌های ریلی، دانشگاه علم و صنعت

آسیب‌های حرارتی یکی از جدی‌ترین مشکلاتی است که در اثر استفاده از لنت های نامرغوب بوجود می آید، که در این صورت دیسک ها علاوه بر سایش زودرس، دچار ترک خوردگی شده و پس از مدت کوتاهی از رد خارج می شوند.

هنگامی که دو نیم صفحه بر روی صفحه‌ای که در حال حرکت است فشرده می‌شوند تغییرات دما بصورت اختلالات حرارتی سینوسی کوچک در بین نیم صفحه‌ها و صفحه در حال لغزش بوجود می‌آیند. از این مثال می‌توان بعنوان مدلی برای تغییرات تنش و حرارت در دیسک و لنت هنگام ترمزگیری استفاده نمود. در شرایط خاص اختلالات حرارتی باعث ایجاد ناپایداری حرارتی می‌شوند. عبارت دیگر سرعت لغشی صفحه یا دیسک ترمز از سرعت بحرانی بیشتر و ناپایداری حرارتی مشاهده می‌شود) مدل ریاضی ناپایداری حرارتی در بخش دوم مقاله توضیح داده شده است).

ناپایداری گرمایی که به علت گرمای ناشی از اصطکاک در سطح تماس ایجاد می‌شود، ناپایداری ترموموالاستیک ناشی از اصطکاک (TEI) یا (Thermoelastic Instability) نامیده می‌شود [۱,۲].

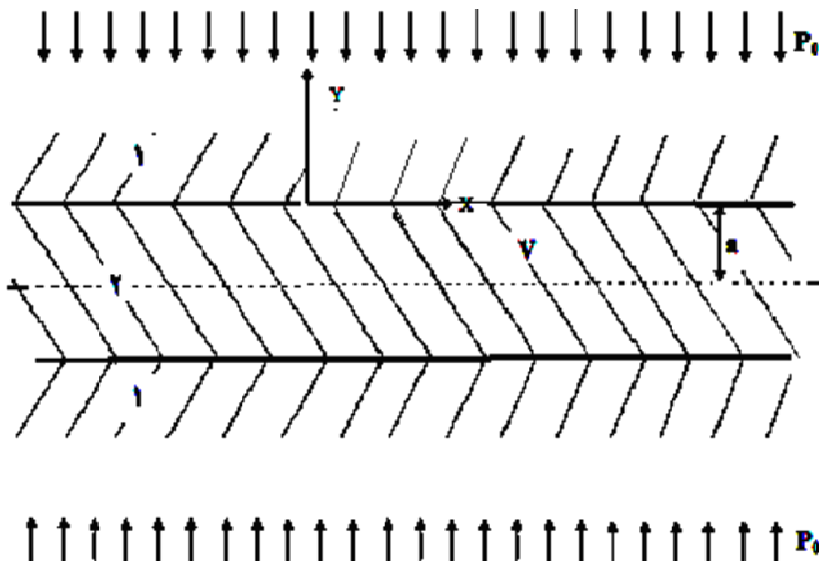
ناپایداری گرمایی باعث اعوجاج دیسک و ایجاد سطوح تماس محدود با گرمای زیادی می‌شود که به آنها نقاط داغ گفته می‌شود. این نقاط داغ باعث جوانه زنی و رشد ترک های مضر در سطح تماس می‌شوند [۳]. سابقه تحقیقات انجام شده در این زمینه به شرح زیر می‌باشد.

Barber و Lee [۴] ناپایداری گرمایی در سیستم ترمزی اتومبیل با ضخامت دیسک محدود را در حالت دو بعدی بررسی کردند. در این تحقیق دو ماده متفاوت برای لنت با هم مقایسه شدند. Lee [۵] ناپایداری گرمایی در سیستم های ترمزی یکطرفه اتومبیل با ضخامت دیسک محدود را بررسی کرد. او همچنین اثر خواص مختلف دیسک و لنت را بر سرعت بحرانی تحلیل نمود . Afferrante و Ciavarella [۶] ناپایداری گرمایی در دیسک و لنت اتومبیل را با در نظر گرفتن تغییرات زمان بررسی و رفتار گذرا بر سیستم ترمزی اتومبیل را تحلیل کردند.

در این مقاله با استفاده از فرمول بندی ارائه شده توسط Barber و Lee [۴] ناپایداری ترموموالاستیک در دیسک و لنت های ترمز در قطار و عوامل موثر بر آن بررسی شده است. با توجه به اهمیت این مسئله در این مقاله جنس های مختلف برای دیسک و لنت در نظر گرفته شده و عملکرد هر ترکیب فرض شده از دیسک و لنت های متفاوت مقایسه شده است. به منظور صرفه جویی در هزینه های تعمیرات و نگهداری و بهبود عملکرد سیستم ترمز، نهایتاً ترکیبات بهینه‌ای برای جنس دیسک و لنت پیشنهاد می‌شود.

۲- مدل سازی

جهت مدل سازی رفتار ترموموالاستیک دیسک و لنت هنگام ترمزگیری از مدل نشان داده شده در شکل (۱) استفاده می‌شود. در این شکل لنت ها با دو نیم صفحه با عدد ۱ و دیسک با لایه ای با ضخامت ۲a با عدد ۲ نشان داده شده است.



شکل ۱ - یک لایه بین دو نیم صفحه که تحت فشار یکنواخت است

نیم صفحه ها در این مدل تحت فشار یکنواخت قرار دارند و دیسک بین دو نیم صفحه با سرعت ثابت می‌لغزد. از این مدل برای طول لنت ها محدود نیز می‌توان استفاده نمود زیرا ضریب رسانایی دیسک خیلی بزرگتر از ضریب رسانایی لنت می‌باشد. بعلاوه چون ضریب رسانایی لنت کم است و گرمای کمی روی صفحه لنت نفوذ می‌کند بنابراین می‌توان از این مدل، که در آن لنت بصورت نیم صفحه فرض شده، برای شبیه سازی حرارتی دیسک و لنت استفاده نمود.

در این تحقیق برای دیسک از دو جنس چدن ریخته گری و فولاد، و برای لنت از مواد کامپوزیتی C و D و E استفاده می‌شود. خواص مکانیکی و حرارتی مواد در نظر گرفته شده در جدول (۱) ذکر شده است. در ادامه حالتی که جنس لنت و دیسک از چدن ریخته گری می‌باشد نیز جهت نشان دادن اثر جنس دیسک و لنت یکسان بررسی می‌شود.

جدول ۱- جنس های مختلف لنت و دیسک

	$E(\frac{N}{m^2} \times 10^9)$	ν	$\alpha(c^{0-1} \times 10^{-6})$	$K(\frac{w}{m^\circ c})$	$k(\frac{m^2}{s} \times 10^{-6})$
C	۰/۵۳	۰/۲۵	۳۰	۰/۵	۰/۲۶۹
D	۱	۰/۲۵	۱۰	۵	۳/۵۷
E	۰/۳	۰/۱۲	۱۴	۰/۲۴۱	۰/۱۳
فولاد	۲۰۰	۰/۳	۱۲	۴۲	۱۱/۹۱
چدن ریخته گری	۱۲۵	۰/۲۵	۱۲	۵۴	۱۲/۹۸

در شکل (۱) هندسه نیم صفحه ها نسبت به صفحه میانی متقارن است اما این بدین معنا نمی‌باشد که همواره اختلالات حرارتی ناشی از اصطکاک در دیسک دارای همین تقارن ذکر شده می‌باشد تا زمانی که اختلال حرارتی کوچک است می‌توان مسئله را خطی فرض کرد و در این حالت اختلال حرارتی در حالت کلی بصورت جمع قسمت‌های متقارن و نامتقارن نسبت به محور تقارن دیسک تعریف می‌گردد. نتایج فرم کلی اختلالات حرارتی از طریق حل معادلات فوریه بدست می‌آید. در حل مسئله ترمولاستیسیته فقط سرفصل‌های حل و روابط بدست آمده در هر قسمت ذکر شده است، جزئیات بیشتر در مرجع [۴] آمده است.

۳- حل مسئله متقارن

مهمترین مسئله در این مقاله بدست آوردن سرعت بحرانی بر حسب متغیر A می‌باشد.

$$A=ma$$

a نصف ضخامت دیسک می‌باشد و m رابطه عکس با طول موج نقاط داغ دارد.

$$m = \frac{2\pi}{L}$$

L طول موج نقاط داغ یا بعبارت دیگر فاصله بین دو نقطه داغ بروی دیسک می‌باشد. اگر نقاط داغ ایجاد شده در مزهای مشترک بین لنتها و دیسک در دو طرف دیسک تقارن داشته باشند مسئله در حالت متقارن می‌باشد. در این مقاله ابتدا مسئله در حالت متقارن حل می‌شود و سرعت بحرانی در این حالت بدست می‌آید.

در صورتیکه اختلال حرارتی ایجاد شده بین دیسک و نیم صفحه ها باعث سرعت مطلق C در جهت x در نیم صفحه ۱ انتشار یابد، سرعت نسبی C_1 نسبت به جسم ۱ بصورت زیر بدست می‌آید. در صورتیکه $C=C_1+V+C_2$ می‌توان سرعت لغزشی را به صورت زیر نشان داد :

$$V=C_1-C_2 \quad (1)$$

با فرض یک سیستم مختصات (x,y) که با دیسک حرکت می‌کند مانند شکل ۱ و در نظر گرفتن فشار ثابت P_1 روی لنتها، توزیع فشار در دیسک در حالت حرکت به صورت زیر نسبت به مکان متناوب و نسبت به زمان بصورت نمایی متغیر فرض می‌گردد [۴] :

$$P(x,t)=P_1 \exp(bt) \cos(mx) \quad (2)$$

که در آن b نرخ رشد و t زمان می‌باشد. این اختلال فشار ایجاد گرما می‌کند که رابطه آن با فشار، سرعت نسبی V و ضریب اصطکاک f به صورت زیر نمایش داده می‌شود:

$$q_{net}=q_{y1}-q_{y2}=f v p_1 \exp(bt) \cos(mx) \quad (3)$$

در رابطه فوق q_{yi} شار حرارتی در جهت y و در فصل مشترک نیم صفحه i میباشد. سیستم مختصات موضعی به صورت (x_i, y_i) ثابت در نیم صفحه بالا و دیسک در نظر گرفته می‌شود و از آن روابط زیر بدست می‌آید:

$$x = x_1 - c_1 t \quad (4)$$

$$x = x_2 - c_2 t \quad (5)$$

$$y = y_1 \quad (6)$$

$$y = y_2 - a \quad (7)$$

۱-۳- میدان درجه حرارت

میدان حرارت در هر جسم باید در معادله انتقال حرارت گذراي زير صدق کند :

$$\frac{\partial^2 T_i}{\partial x_i^2} + \frac{\partial^2 T_i}{\partial y_i^2} = \frac{1}{k_i} \frac{\partial T_i}{\partial t} \quad (8)$$

به طوری که :

$$k_i = \frac{K_i}{\rho_i C_{pi}} \quad (9)$$

که در آن بترتیب K_i ضریب هدایت حرارتی P_i چگالی و C_{pi} گرمای ویژه و k_i ضریب نفوذ حرارتی می‌باشد.

یک فرم مناسب اختلالات دمایی که در معادله (8) میتواند صدق کند به صورت زیر می‌باشد:

$$T_i = R\{f_i(y_i) \exp(bt + jm(x_i - c_i t))\} \quad (10)$$

که در آن $j = \sqrt{-1}$ میباشد. باید توجه شود که نرخ رشد که با b نشان داده شده ، باید دارای مقداری حقیقی در همه معادلات باشد. با قرار دادن معادله (10) در معادله (8) خواهیم داشت:

$$f_i(y_i) = F_i \exp(-\lambda_i y_i) + G_i \exp(\lambda_i y_i) \quad (11)$$

به طوری که :

$$\lambda_i \equiv \xi_i + j\eta_i = \sqrt{\left(m^2 + \frac{b}{k_i}\right) - \frac{jmc_i}{k_i}}, \quad (12)$$

به طوری که F_i و G_i ثوابت مختلط دلخواه هستند و \rightarrow میباشد. بنابراین خواهیم داشت:

$$T_i = R\{(F_i \exp(-\lambda_i y_i) + G_i \exp(\lambda_i y_i)) \exp(bt + jm(x_i - c_i t))\} \quad (13)$$

دمای جسم ۱ باید با دور شدن از سطح مشترک کاهش یابد به طوری که :

$$y_1 \rightarrow \infty \quad T_1 \rightarrow 0$$

از اینجا نتیجه می شود $G_1 = 0$ است و سپس دمای جسم یک بصورت زیربدهست می آید:

$$T_1 = R\{F_1 \exp(bt - \lambda_1 y_1 + jm(x_1 - c_1 t))\} \quad (14)$$

همچنین در حالت فرم متقابن مسئله داریم :

$$q_{y2} = -k_2 \frac{\partial T_2}{\partial y_2} \Big|_{y_2=0} = 0 \quad (15)$$

بادر نظر گرفتن معادله (15) و (13) میبایست

$$F_2 = G_2 \quad (16)$$

بنابراین دما در جسم دوم را میتوان به صورت زیر نوشت:

$$T_2 = R\{2F_2 \cosh(\lambda_2 y_2) \exp(bt + jm(x_2 - c_2 t))\} \quad (17)$$

دما در فصل مشترک میبایست پیوسته باشد بنابراین:

$$T_1(x, 0, t) = T_2(x, 0, t) \quad (18)$$

از معادلات (14)، (17) و (18) نتیجه می شود:

$$F_1 = 2F_2 \cosh(\lambda_2 a) \quad (19)$$

بنابراین میتوان دما در سیستم مختصات (y, x) را به فرم زیر نمایش داد:

$$T_1 = R\{T_0 \exp(bt - \lambda_1 y + jmx)\} \quad (20)$$

$$T_2 = R\{T_0 \frac{\cosh(\lambda_2(y+a))}{\cosh(\lambda_2 a)} \exp(bt + jmx)\} \quad (21)$$

در این روابط T_0 دمای اولیه می باشد. باید توجه شود که فقط معادله انتقال حرارت وابسته به زمان است بنابراین ادامه محاسبات را میتوان در سیستم مختصات متحرک (x, y) انجام داد.

۲-۳- محاسبه گرمایی تولید شده در سطح مشترک

شار گرمایی در فصل مشترک دیسک و لنت به صورت زیر نمایش داده می شود:

$$q_{yi} = -k_i \frac{\partial T_i}{\partial y} \Big|_{y=0} \quad (22)$$

اگر معادله (20) و (21) ابتدا در معادله (22) قرار داده شود و سپس در معادل (۳) قرار گیرد آنگاه نتیجه می شود:

$$f v p_1 \exp(bt) \cos(mx) = R\{\{k_1 \lambda_1 + k_2 \lambda_2 \tanh(\lambda_2 a)\} T_0 \exp(bt + jmx)\} \quad (23)$$

در نتیجه :

$$k_1\lambda_1 + k_2\lambda_2 \tanh(\lambda_2 a)\}T_0 = f_{vp1} \quad (24)$$

۳-۳- محاسبه تنش ها و جابجایی های ترمولاستیک

برای حل مسئله شرایط مرزی مکانیکی بصورت زیر در نظر گرفته می شود. عبارت دیگر فرض می شود تنش به علت اختلالات حرارتی در فاصله ای دور از فصل مشترک دیسک و لنت، که در اینجا مطابق تصویر (۱) جهت ساده سازی حل تحلیلی بصورت نیم صفحه فرض شده است، صفر است. بنابراین:

$$\sigma_{xx1}, \sigma_{xy1}, \sigma_{yy1} \rightarrow 0 \quad y \rightarrow \infty \quad (25)$$

لازم به ذکر است که با توجه به کم بودن ضریب انتقال حرارت لنت نیم صفحه فرض نمودن لنت خطای زیادی را به همراه نخواهد داشت همچنین جهت حل تحلیلی مسئله بصورت فوق مدل شده است. بنابراین در حالت متقارن می توان نوشت:

$$u_{y2} = 0 \quad y = -a \quad (26)$$

$$\sigma_{xy2} = 0 \quad y = -a \quad (27)$$

در فصل مشترک $y=0$ می توان نوشت :

$$u_{y1} = u_{y2} \quad (28)$$

$$\sigma_{yy1} = \sigma_{yy2} = -p(x, t) \quad (29)$$

$$\sigma_{xy1} = \sigma_{xy2} = -f_{vp}(x, t) \quad (30)$$

علامت معادله (۳۰) وقتی صادق است که $V > 0$ باشد. حل خصوصی مسئله ترمولاستیک مربوط به میدان حرارتی منطبق با معادلات (۲۰) و (۲۱) را میتوان با فرض تابع کرنشی Ψ بصورت زیر بدست آورد.

$$2\mu u_i = \nabla \Psi_i \quad (31)$$

$$\nabla^2 \Psi_i = \beta_i T_i \quad (32)$$

$$\beta_i = \frac{2\mu_i \alpha_i (1+\vartheta_i)}{1-\vartheta_i} \quad (33)$$

که در آن α_i ضریب انبساط طولی، μ_i مدول برشی و ϑ_i ضریب پواسون می باشد. اگر معادله (۲۰) و (۲۱) در معادله (۳۲) جایگذاری شود می توان نتیجه گرفت:

$$\Psi_1 = R \left\{ \frac{\beta_1 T_0}{\lambda_1^2 - m^2} \exp(bt - \lambda_1 y + jmx) \right\} \quad (34)$$

$$\Psi_2 = R \left\{ \frac{\beta_2 T_0}{\lambda_2^2 - m^2} \frac{\cosh(\lambda_2(y+\alpha))}{\cosh(\lambda_2\alpha)} \exp(bt + jmx) \right\} \quad (35)$$

با استفاده از روابط فوق تنش ها و جابه جایی ها از روابط زیر بدست می آید.

$$u_{yi} = \frac{1}{2\mu_i} \frac{\partial \Psi_i}{\partial y}; \quad \sigma_{yyi} = -\frac{\partial^2 \Psi_i}{\partial y^2}; \quad \sigma_{xyi} = \frac{\partial^2 \Psi_i}{\partial x \partial y} \quad (36)$$

جزئیات حل مسئله فوق در مرجع [۴] ذکر شده است. با استفاده از مرجع [۴] میدانهای جابجایی و تنش بصورت زیر حاصل میگردد:

$$u_{y1} = R \left[-\frac{1}{2\mu_1} \left\{ \frac{\beta_1 T_0 \lambda_1}{\lambda_1^2 - m^2} \exp(-\lambda_1 y + bt + jmx) \right\} - \frac{1}{2\mu_1} \{ mA_1 \exp(-my + jmx) \right. \\ \left. - \frac{1}{2\mu_1} \{ my + (3-4v_1) B_1 \exp(-my + jmx) \} \right] \quad (37)$$

$$\sigma_{yy1} = R \left[m^2 \left\{ \frac{\beta_1 T_0}{\lambda_1^2 - m^2} \exp(-\lambda_1 y + bt + jmx) \right\} + m^2 A_1 \exp(-my + jmx) \right. \\ \left. + [my + 2(1-v_1)] m B_1 \exp(-my + jmx) \right] \quad (38)$$

$$\sigma_{xy1} = R \left[-jm \left\{ \frac{\beta_1 T_0 \lambda_1}{\lambda_1^2 - m^2} \exp(-\lambda_1 y + bt + jmx) \right\} - jm^2 A_1 \exp(-my + jmx) \right. \\ \left. - j \{ my + (1-2v_1) m B_1 \exp(-my + jmx) \} \right] \quad (39)$$

$$u_{y2} = R \left[\frac{1}{2\mu_2} \left\{ \frac{\beta_2 T_0 \lambda_2}{\lambda_2^2 - m^2} \frac{\sinh(\lambda_2(y+\alpha))}{\cosh(\lambda_2\alpha)} \exp(bt + jmx) \right\} + \frac{1}{2\mu_2} mA_2 \sinh(m(y+\alpha)) \exp(jmx) \right] + \\ \frac{1}{2\mu_2} \{ (y+\alpha)m \cosh(m(y+\alpha)) - (3-4v_2) \sinh(m(y+\alpha)) \} \times B_2 \exp(jmx) \quad (40)$$

$$\sigma_{yy2} = R \left[m^2 \left\{ \frac{\beta_2 T_0}{\lambda_2^2 - m^2} \frac{\cosh(\lambda_2(y+\alpha))}{\cosh(\lambda_2\alpha)} \exp(bt + jmx) \right\} + m^2 A_2 \cosh(m(y+\alpha)) \exp(jmx) \right] + \\ \{ (y+\alpha)m \sinh(m(y+\alpha)) - 2(1-v_2) \cosh(m(y+\alpha)) \} \times m B_2 \exp(jmx) \quad (41)$$

$$\sigma_{xy2} = R \left[jm^2 \left\{ \frac{\beta_2 T_0 \lambda_2}{\lambda_2^2 - m^2} \frac{\sinh(\lambda_2(y+\alpha))}{\cosh(\lambda_2\alpha)} \exp(bt + jmx) \right\} + jm^2 A_2 \sinh(m(y+\alpha)) \exp(jmx) \right] + \\ + j \{ (y+\alpha)m \cosh(m(y+\alpha)) - (1-2v_2) \sinh(m(y+\alpha)) \} \times m B_2 \exp(jmx) \quad (42)$$

با در نظر گرفتن شرایط مرزی سطح مشترک که در معادلات (۲۸-۳۰) ذکر شده چهار معادله برای چهار ثابت مختلط A_1, A_2, B_1, B_2 تعریف می‌شود. همچنین ترکشن در ناحیه تماس بصورت زیر بدست می‌آید.

$$\sigma_{yy1}(x, 0, t) = -p_1 \exp(bt) \cos(mx), \quad (43)$$

با قراردادن p_1 از معادلات فوق در معادله (۲۴) می‌توان معادله مشخصه مختلط زیر را بدست آید.

$$\begin{aligned} & \left\{ \frac{K_1}{K_2} \lambda_1 + \lambda_2 \tanh(\lambda_2 \alpha) \right\} \left(1 - jf \frac{H_1}{H_2} \right) \\ & = \frac{f H_1 V_m}{k_2} \left[\frac{1}{\lambda_1 + m} \frac{\alpha_1(1+v_1)}{\alpha_2(1+v_2)} \{A \operatorname{sech}^2 A + \tanh A\} + \frac{\tanh A}{\lambda_2^2 - m^2} \{\tanh(\lambda_2 \alpha) - m \tanh A\} \right] \end{aligned} \quad (44)$$

که در آن :

$$H_1(A) = \frac{2\mu_1\mu_2 k_2 \alpha_2(1+v_2)}{\{\mu_2(1-v_1)(A \operatorname{sech}^2 A + \tanh A) + \mu_1(1-v_2) \tanh^2 A\} k_2}, \quad (45)$$

$$H_2(A) = \frac{4\mu_1\mu_2 k_2 \alpha_2(1+v_2)}{\{\mu_2(1-2v_1)(A \operatorname{sech}^2 A + \tanh A) + \mu_1(1-2v_2) \tanh A + \mu_1 A \operatorname{sech}^2 A\} k_2} \quad (46)$$

و $A=ma$. برای مقادیر مشخص m, V و خواص مادی معلوم، معادله (۴۴) نرخ رشد b را که بصورت ضمنی در λ_1 آمده با توجه به معادله (۱۲) مشخص مینماید.

۴-۳-۴- معرفی پارامترهای بی بعد
پارامترهای بی بعد به صورت زیر تعریف می‌شود :

$$k^* = \frac{K_1}{K_2}; \quad K^* = \frac{K_1}{K_2}; \quad \alpha^* = \frac{\alpha_1(1+v_1)}{\alpha_2(1+v_2)} \quad (47)$$

$$\lambda_i^* = \frac{\lambda_i}{m}; \quad c_i^* = \frac{c_i}{k_2 m} \quad (48)$$

$$V^* = \frac{V}{k_2 m} = c_1^* - c_2^* \quad (49)$$

$$b^* = \frac{b}{k_2 m^2} \quad (50)$$

اگر عبارت های (۴۹-۴۷) در معادله (۴۴) قرار داده شود، معادله مشخصه بی بعد بصورت زیر بدست می‌آید:

$$\{k^* \lambda_1^* + \lambda_2^* \tanh(\lambda_2^* A)\} \left(1 - jf \frac{H_1}{H_2}\right) = f H_1 V^* \left[\frac{\alpha^*}{\lambda_1^* + 1} (\operatorname{Asech}^2 A + \tanh A) + \frac{\tanh A}{\lambda_2^{*2} - 1} \times \{ \lambda_2^* \tanh(\lambda_2^* A) - \tanh A \} \right] \quad (51)$$

۵-۳- شرایط پایداری مسئله

پایداری در میدانهای تنش و حرارت در صورتیکه نرخ رشد این میدانها با زمان منفی باشد قابل تعريف میباشد. در این حالت کلیه اغتشاشات اولیه در حرارت و تنشها با زمان سیر نزولی خواهند داشت. لذا حد پایداری را میتوان با صفر قراردادن نرخ رشد بدست آورد. در این حالت وقتی $b=0$ است، فرم بی بعد معادله (۱۲) بصورت زیر خواهد شد :

$$\lambda_i^* \equiv \xi_i^* + j\eta_i \quad (52)$$

: در حالیکه

$$\xi_i^* = \left\{ \frac{1}{2} \left[1 + \sqrt{1 + \left(\frac{c_1^*}{k^*} \right)^2} \right] \right\}^{1/2} \quad (53)$$

$$\eta_1^* = - \left\{ \frac{1}{2} \left[-1 + \sqrt{1 + \left(\frac{c_1^*}{k^*} \right)^2} \right] \right\}^{1/2} \quad (54)$$

$$\xi_2^* = \left\{ \frac{1}{2} \left[1 + \sqrt{1 + (c_2^*)^2} \right] \right\}^{1/2} \quad (55)$$

$$\eta_2^* = \left\{ \frac{1}{2} \left[-1 + \sqrt{1 + (c_2^*)^2} \right] \right\}^{1/2} \quad (56)$$

باتوجه به روابط فوق رابطه زیر نتیجه می شود:

$$\xi_1^{*2} - \eta_1^{*2} = 1; \quad \xi_2^{*2} - \eta_2^{*2} = 1 \quad (57)$$

بعد از قرار دادن معادله (۵۲) در معادله (۵۱) جدا کردن قسمت حقیقی و موهومی، دو معادله حقیقی بدست می آید که با استفاده از معادله (۵۷) بصورت زیر خواهد بود:

$$\begin{aligned} K^* \xi_1^* + \frac{\xi_2^* \sinh(2A\xi_2^*) - \eta_2^* \sin(2A\eta_2^*)}{\cosh(2A\xi_2^*) + \cos(2A\eta_2^*)} + f \frac{H_1}{H_2} \left\{ k^* \eta_1^* + \frac{\xi_2^* \sin(2A\eta_2^*) + \eta_2^* \sinh(2A\xi_2^*)}{\cosh(2A\xi_2^*) + \cos(2A\eta_2^*)} \right\} \\ = \frac{f H_1 V^*}{2} \left[\frac{\alpha^*}{\xi_1^*} (\operatorname{Asech}^2 A + \tanh A) + \frac{\tanh A}{\xi_2^* \eta_2^*} \times \left\{ \frac{\xi_2^* \sin(2A\eta_2^*) - \eta_2^* \sinh(2A\xi_2^*)}{\cosh(2A\xi_2^*) + \cos(2A\eta_2^*)} \right\} \right] \end{aligned} \quad (58)$$

$$K^* \eta_1^* + \frac{\xi_2^* \sin(2A\eta_2^*) + \eta_2^* \sinh(2A\xi_2^*)}{\cosh(2A\xi_2^*) + \cos(2A\eta_2^*)} - f \frac{H_1}{H_2} \left\{ K^* \xi_1^* + \frac{\xi_2^* \sinh(2A\xi_2^*) - \eta_2^* \sin(2A\eta_2^*)}{\cosh(2A\xi_2^*) + \cos(2A\eta_2^*)} \right\} = - \frac{f H_1 V^*}{2}$$

$$\left[\frac{\alpha^* \eta_1^*}{\xi_1^*(\xi_1^*+1)} (\text{Asech}^2 A + \tanh A) + \frac{\tanh A}{\xi_2^* \eta_2^*} \left\{ \frac{\xi_2^* \sinh(2A\xi_2^*) - \eta_2^* \sin(2A\eta_2^*) - \tanh A (\cosh(2A\xi_2^*) + \cos(2A\eta_2^*))}{\cosh(2A\xi_2^*) + \cos(2A\eta_2^*)} \right\} \right] \quad (59)$$

از معادلات (۵۸) و (۵۹) و رابطه (۴۹) میتوان ξ_1^* و η_2^* را حذف نمود و سرعت بحرانی رابرای حالت متقارن بدست آورد.

۴- حل مسئله نامتقارن

برای حالت نامتقارن مسئله می توان نوشت :

$$T_2=0 \quad y=-a \quad (60)$$

$$u_{x2}=0 \quad y=-a \quad (61)$$

$$\sigma_{yy2}=0 \quad y=-a \quad (62)$$

همان گام های مسئله متقارن برای حالت نامتقارن استفاده می شود و معادله مشخصه نامتقارن بصورت زیر بدست می آید.

$$\{K^* \lambda_1^* + \lambda_2^* \coth(\lambda_2^* A)\} \left(1 - j f \frac{H_1}{H_2}\right) = f H_1 V^* \left[\frac{\alpha^*}{\lambda_1^* + 1} (-\text{Acsch}^2 A + \coth A) + \frac{\coth A}{\lambda_2^{*2} - 1} \{\lambda_2^* \coth(\lambda_2^* A) - \coth A\} \right] \quad (63)$$

جایی که ،

$$H_1(A) = \frac{2\mu_1\mu_2 K_2 \alpha_2 (1+\nu_2)}{\{\mu_2(1-\nu_1)(-\text{Acsch}^2 A + \coth A) + \mu_1(1-\nu_2) \coth^2 A\} K_2} \quad (64)$$

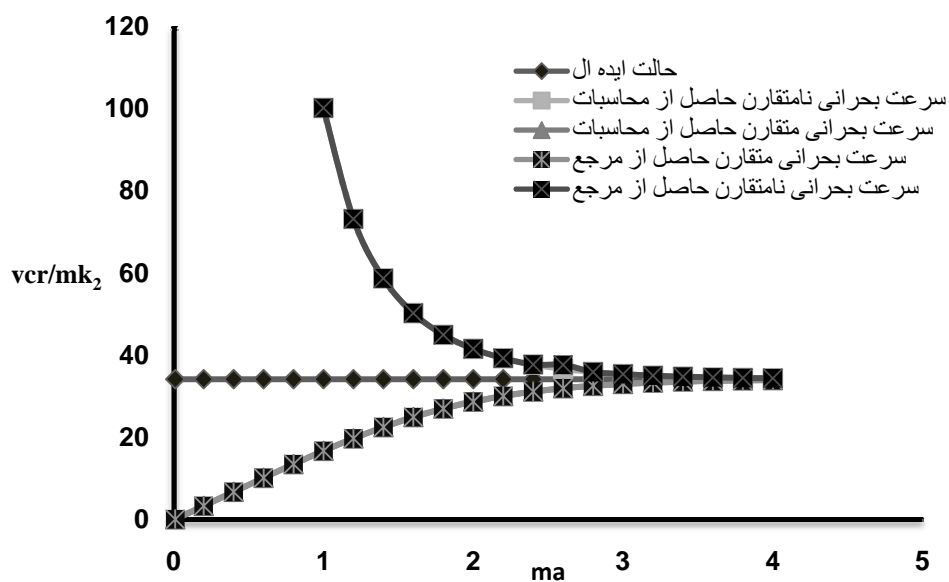
$$H_2(A) = \frac{4\mu_1\mu_2 K_2 \alpha_2 (1+\nu_2)}{\{\mu_2(1-2\nu_1)(-\text{csch}^2 A + \coth A) - \mu_1(1-2\nu_2) \coth A - \mu_1 A \text{csch}^2 A\} K_2} \quad (65)$$

بنابراین برای حالت نامتقارن می توان داشت :

$$\begin{aligned} & K^* \xi_1^* + \frac{\xi_2^* \sinh(2A\xi_2^*) + \eta_2^* \sin(2A\eta_2^*)}{\cosh(2A\xi_2^*) - \cos(2A\eta_2^*)} + f \frac{H_1}{H_2} \left\{ k^* \eta_1^* + \frac{\eta_2^* \sinh(2A\xi_2^*) - \xi_2^* \sin(2A\eta_2^*)}{\cosh(2A\xi_2^*) - \cos(2A\eta_2^*)} \right\} \\ & = \frac{f H_1 V^*}{2} \left[\frac{\alpha^*}{\xi_1^*} (-\text{Acsch}^2 A + \coth A) + \frac{\coth A}{\xi_2^* \eta_2^*} \times \left\{ \frac{\eta_2^* \sinh(2A\xi_2^*) - \xi_2^* \sin(2A\eta_2^*)}{\cosh(2A\xi_2^*) - \cos(2A\eta_2^*)} \right\} \right] \end{aligned} \quad (66)$$

$$\begin{aligned} & K^* \eta_1^* + \frac{-\xi_2^* \sin(2A\eta_2^*) + \eta_2^* \sinh(2A\xi_2^*)}{\cosh(2A\xi_2^*) - \cos(2A\eta_2^*)} - f \frac{H_1}{H_2} \left\{ k^* \xi_1^* + \frac{\xi_2^* \sinh(2A\xi_2^*) + \eta_2^* \sin(2A\eta_2^*)}{\cosh(2A\xi_2^*) - \cos(2A\eta_2^*)} \right\} = -\frac{f H_1 V^*}{2} \left[\frac{\alpha^* \eta_1^*}{\xi_1^*(\xi_1^*+1)} \times \right. \\ & \left. (-\text{Acsch}^2 A + \coth A) + \frac{\coth A}{\xi_2^* \eta_2^*} \left\{ \frac{\xi_2^* \sinh(2A\xi_2^*) + \eta_2^* \sin(2A\eta_2^*) - \coth A (\cosh(2A\xi_2^*) - \cos(2A\eta_2^*))}{\cosh(2A\xi_2^*) - \cos(2A\eta_2^*)} \right\} \right] \end{aligned} \quad (67)$$

در این تحقیق برای یافتن سرعت بحرانی بر حسب $A=ma$ از نرم افزار *Mathematica* استفاده شده است برای یک ماده معین $A=ma$ ، از بازه (۰ - ۶) تغییر کرده است در حالی که بقیه متغیرها ثابت‌اند و سرعت بحرانی در هر حالت محاسبه می‌شود. به ازای $A=ma$ در بازه (۰ - ۶) مقدار سرعت بحرانی با استفاده از نرم افزار بدست می‌آید و می‌توان نمودار سرعت بحرانی بر حسب ma را مانند شکل (۲) رسم نمود. با مقایسه سرعت‌های بحرانی حاصل از جنس‌های مختلف برای دیسک و لنت می‌توان بهترین جنس برای دیسک و لنت را انتخاب نمود. برای بررسی صحت نتایج بدست آمده ابتدا یک نمونه از نتایج حاصله با بتایج بدست آمده از مقاله [۶] مقایسه می‌شود. بدین منظور مانند مرجع [۶] لنت و دیسک از جنس چدن ریخته گری انتخاب می‌شوند و تغییرات بی بعد سرعت بحرانی بر حسب ma رسم می‌گردد. همانگونه که در تصویر (۲) مشاهده می‌شود نمودار حاصل بطور کامل منطبق بر نمودار بدست آمده در مرجع [۶] می‌باشد.



شکل ۲- مقایسه نتایج محاسبات

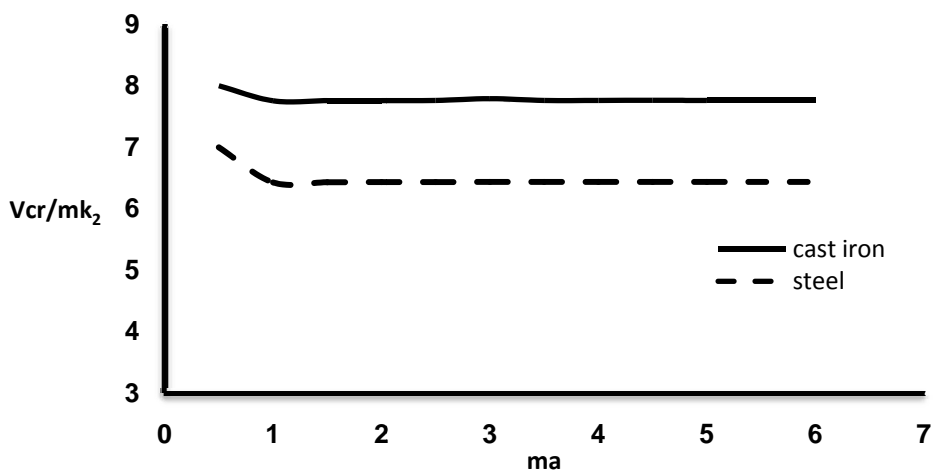
در شکل (۲) مقایسه بین سرعت‌های بحرانی بدست آمده در محاسبات انجام شده در این مقاله و سرعت بحرانی موجود در مرجع [۶] در دو حالت متقارن و نامتقارن مشاهده می‌شود. منظور از حالت ایده ال حالتی است که ضخامت دیسک نامحدود فرض شده است.

۵- نتایج

در این بخش سرعت بحرانی دیسک و لنت‌های مختلف با یکدیگر مقایسه خواهد شد. چدن ریخته گری و فولاد برای دیسک و سه ماده کامپوزیتی معمول در راه‌آهن برای لنت مورد بررسی قرار خواهند گرفت. خواص مواد ذکر شده در جدول (۱) آمده است. در تمام تحلیل‌ها ضریب اصطکاک مقدار ثابت $f=0.4$ خواهد بود. همه نمودارها بصورت بی بعد رسم شده‌اند.

۵-۱- مقایسه جنس‌های مختلف دیسک

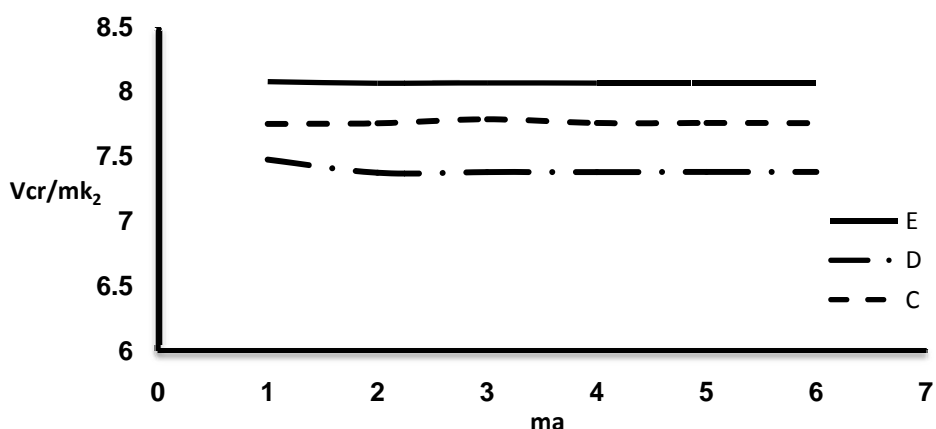
در این بخش به منظور بررسی اثر جنس دیسک بروی سرعت بحرانی فرض می‌شود که جنس لنت از ماده C می‌باشد و منحنی تغییرات سرعت بحرانی بر حسب ma برای دو حالت دیسک با جنس چدن ریخته‌گری و فولاد رسم می‌گردد. با توجه به شکل (۳) برای یک مقدار ثابت ma سرعت بحرانی دیسک از جنس چدن ریخته گری مقدار بیشتری از سرعت بحرانی دیسک از جنس فولاد می‌باشد. این بدان معنی است که دیسک از جنس چدن ریخته‌گری دیرتر به حالت ناپایداری گرمایی می‌رسد، در نتیجه دیسک از جنس چدن ریخته‌گری بهتر از دیسک از جنس فولاد عمل می‌کند.



شکل ۳- مقایسه سرعت‌های بحرانی دیسک از جنس فولاد و چدن ریخته‌گری

۵-۲- مقایسه جنس‌های مختلف لنت در حالت متقارن

جهت بررسی اثر جنس لنت در این قسمت جنس دیسک بصورت ثابت چدنی فرض شده است. سه ماده کامپوزیتی C و D و E برای لنت در نظر گرفته شده است. برای سه جنس فرض شده نمودار سرعت بحرانی بر حسب ma در شکل (۴) رسم شده است.

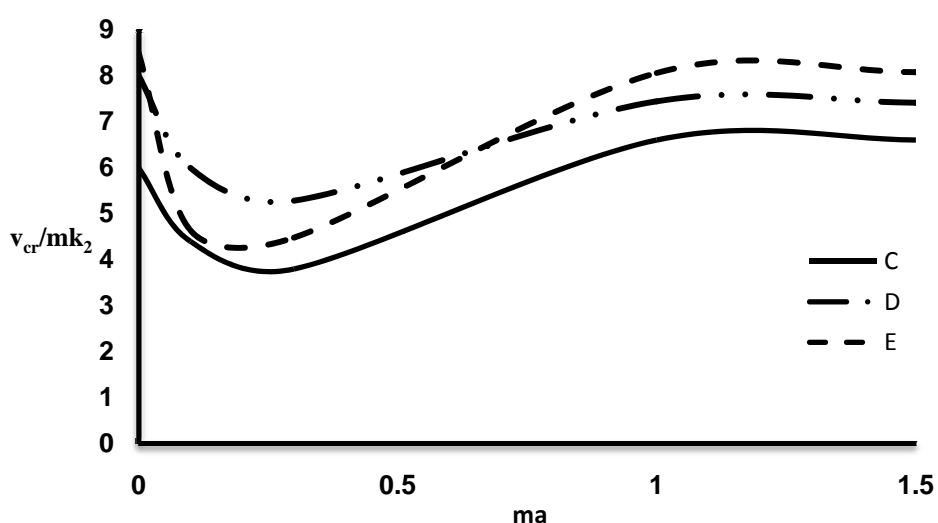


شکل ۴- مقایسه سرعت بحرانی برای لنت با مواد C و D و E در حالت متقارن

با توجه به شکل (۴) و مقایسه سرعت بحرانی سه ماده فرض شده این نتیجه حاصل می شود که لنت از جنس E به علت داشتن سرعت بحرانی بیشتر نسبت به دو ماده دیگر بهترین ویژگی را دارد. لازم به ذکر است که ماده E کمترین مدول الاستیته و ضریب رسانایی را دارا می باشد و ماده C بیشترین ضریب انبساط طولی را دارا می باشد.

۳-۵- مقایسه جنس های مختلف لنت در حالت نامتقارن

در اینجا جنس دیسک از چدن فرض می شود و برای لنت جنس های متفاوت در نظر گرفته می شود.

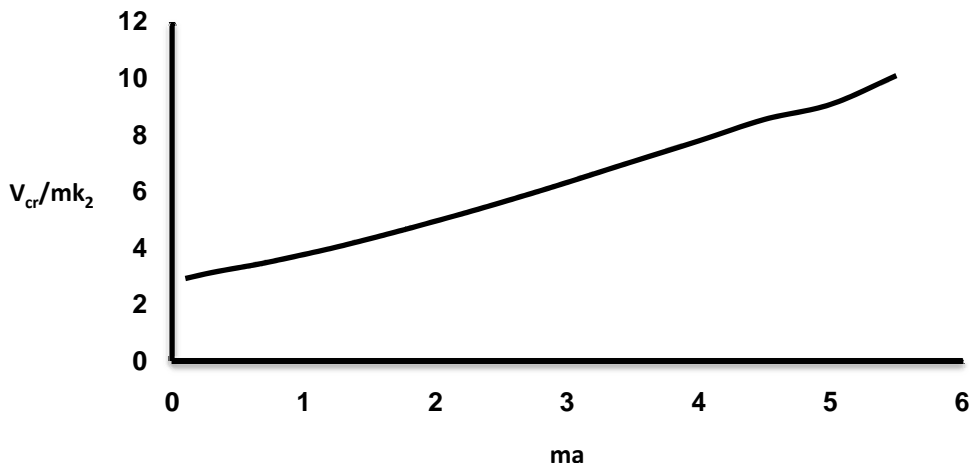


شکل ۵- مقایسه سرعت بحرانی برای لنت با مواد C و D در حالت نامتقارن

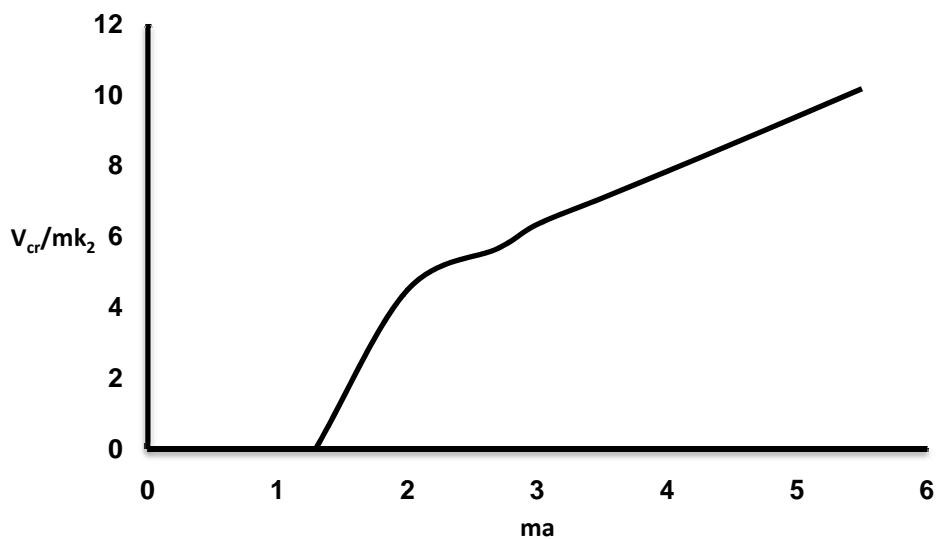
با توجه به شکل (۵) مشاهده می شود که مینیمم سرعت بحرانی ماده D بیشتر از مینیمم سرعت بحرانی ماده C و E است که نشان می دهد ماده D در حالت نامتقارن نسبت به ماده C و E عملکرد بهتری در ma های کمتر از $7/0$ دارد ولی در ma های بزرگتر از $7/0$ ماده E رفتار بهتری را نشان می دهد.

۴-۵- نمودار های لنت و دیسک هم جنس

در این قسمت حالتی در نظر گرفته می شود که ماده تشکیل دهنده دیسک و لنت بصورت یکسان و از چدن ریخته گری می باشند.



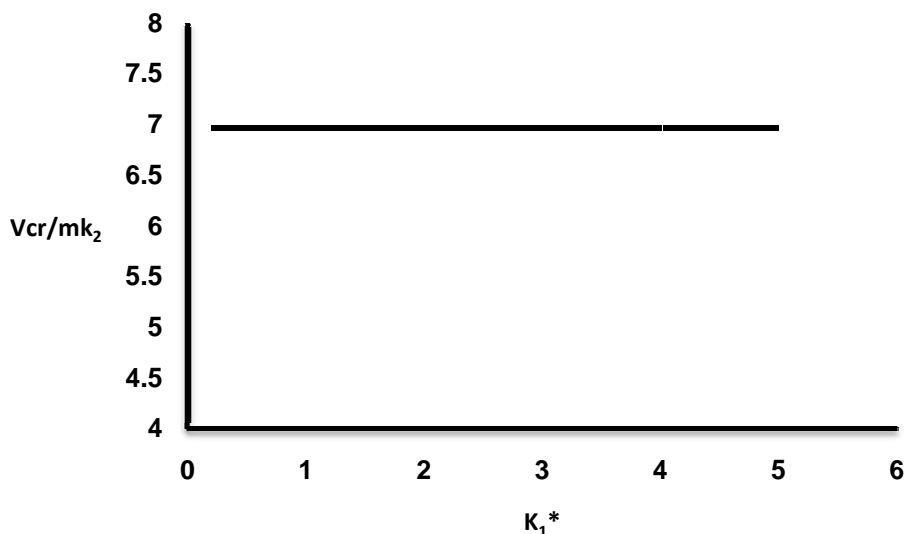
شکل ۶- نمودار سرعت بحرانی دیسک و لنت از جنس چدن ریخته گری در حالت متقارن



شکل ۷- نمودار سرعت بحرانی دیسک و لنت از جنس چدن ریخته گری در حالت نامتقارن

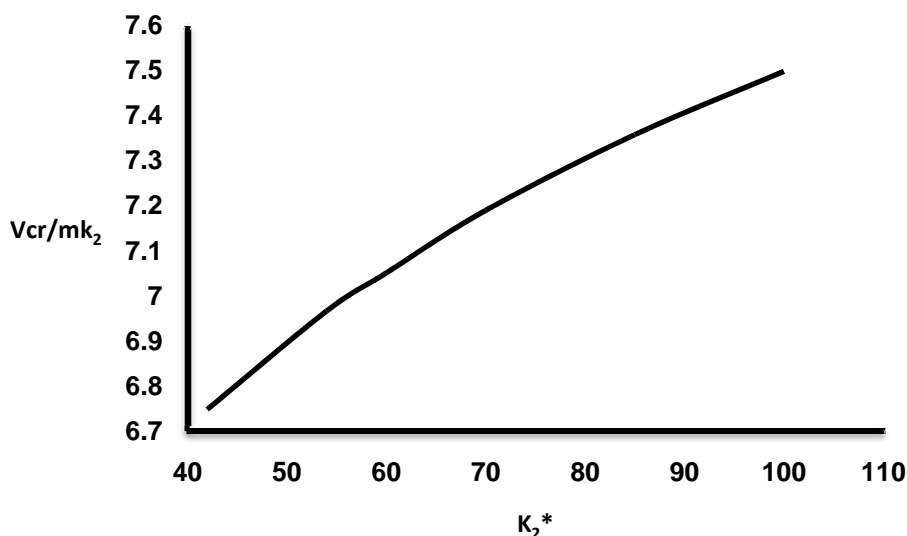
همانگونه که در تصاویر (۶) و (۷) مشاهده می‌شود سرعت بحرانی در این تصاویر در مقادیر کوچک A خیلی کم است. به دلیل سرعت‌های بحرانی کم بهتر است از دیسک و لنت‌های هم‌جنس در ضخامت‌های کم (مقادیر کوچک A) به هیچ‌وجه استفاده نشود.

۵-۵- نمودارهای تاثیرات خواص مختلف ماده روی سرعت بحرانی
در ادامه با فرض مقدار ثابت برای A تغییرات سرعت بحرانی با تغییر خواص مختلف ماده مانند ضریب انبساط طولی (α)، ضریب رسانایی (K)، ضریب اصطکاک (f) و مدول الاستیتیه (E) لنت و دیسک بررسی خواهد شد.



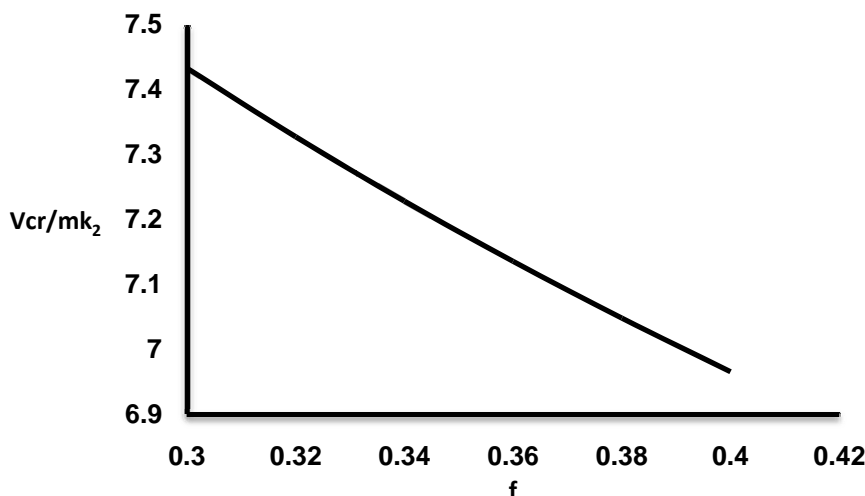
شکل ۸- نمودار تغییرات سرعت بحرانی بر حسب ضریب رسانایی لنت

با توجه به تصویر (۸) مشاهده می شود که تغییرات سرعت بحرانی بر حسب ضریب رسانایی لنت تقریباً ناچیز می باشد و نمودار آن تقریباً یک خط ثابت است. از تصویر (۸) نتیجه گرفته می شود که مقدار ضریب رسانایی لنت تأثیر کمی روی سرعت بحرانی دارد این نتیجه با توجه به این که انتقال حرارت بیشتر از طریق دیسک می باشد و انتقال حرارت ناچیزی از لنت صورت می گیرد کاملاً منطبق بنظر می رسد.



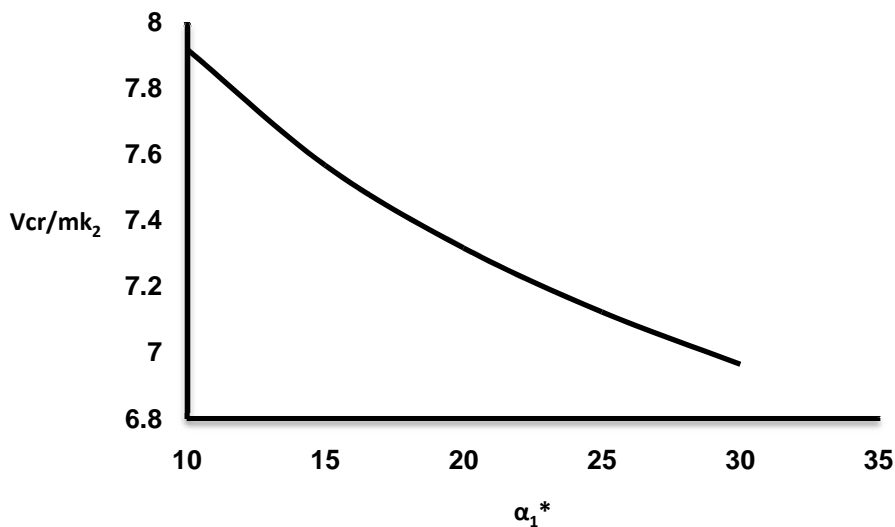
شکل ۹- تغییرات سرعت بحرانی بر حسب ضریب رسانایی دیسک

از شکل (۹) نتیجه می شود که افزایش ضریب رسانایی دیسک تأثیر قابل ملاحظه ای روی سرعت بحرانی دارد بطوری که با افزایش ضریب رسانایی دیسک سرعت بحرانی افزایش می یابد. با افزایش ضریب رسانایی دیسک، دیسک حرارت بیشتری را انتقال می دهد و از اینرو سطح را خنک تر می کند و نقاط داغ دیرتر تشکیل می شود و مقدار سرعت بحرانی بالا می رود.



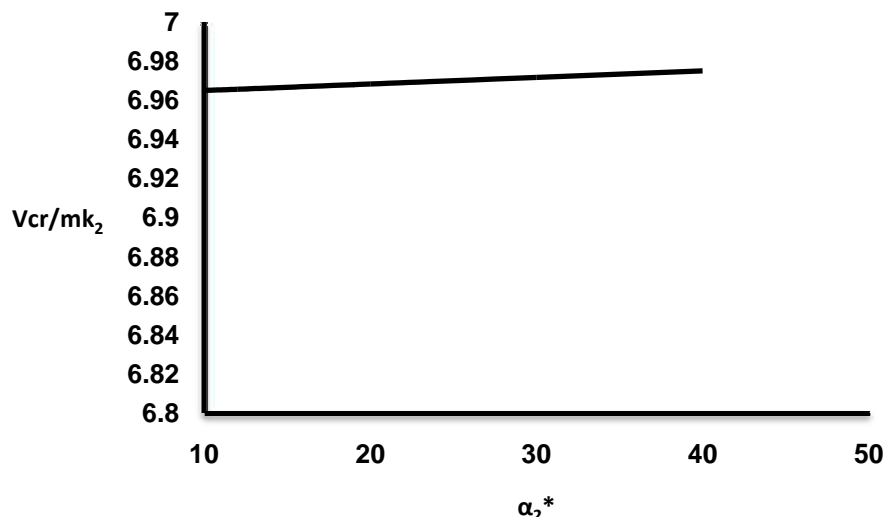
شکل ۱۰- تغییرات سرعت بحرانی بر حسب ضریب اصطکاک

همانطور که در شکل (۱۰) مشاهده می‌شود با افزایش ضریب اصطکاک سرعت بحرانی کم می‌شود زیرا افزایش اصطکاک با افزایش سرعت مقابله خواهد کرد. اما باید توجه داشت که نمی‌توان مقدار ضریب اصطکاک را از یک حدی کمتر در نظر گرفت زیرا برای ترمزگیری نیاز به اصطکاک می‌باشد و در غیر اینصورت ایجاد مشکل می‌کند. بنابراین برای ضریب اصطکاک باید یک مقدار بهینه در نظر گرفته شود.



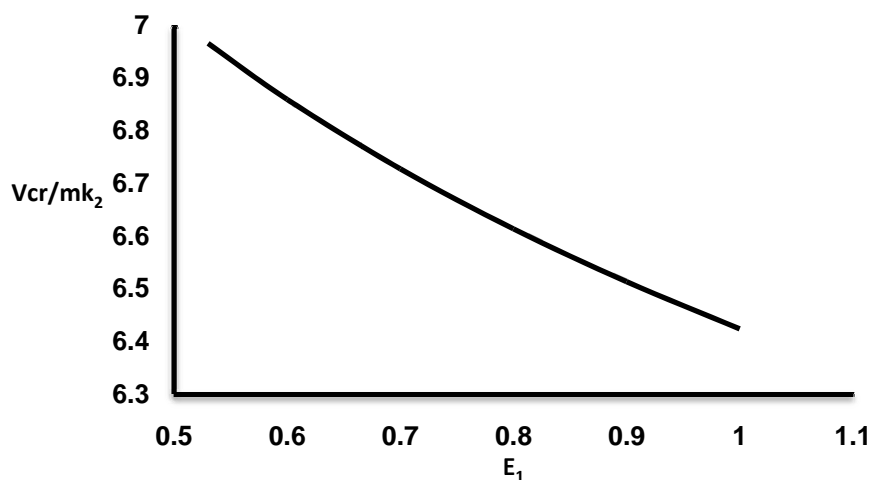
شکل ۱۱- تغییرات سرعت بحرانی بر حسب ضریب انبساط طولی لنت

همانگونه که در شکل (۱۱) مشاهده می‌شود با افزایش ضریب انبساط طولی لنت سرعت بحرانی کاهش می‌یابد. این کاهش سرعت بدین دلیل است که با افزایش ضریب انبساط طولی لنت، تغییر شکل لنت بیشتر می‌شود در نتیجه اعوجاج بیشتر و امکان تشکیل نقاط داغ بیشتر خواهد شد. و در نتیجه افزایش ضریب انبساط طولی لنت باعث کاهش سرعت بحرانی می‌شود.



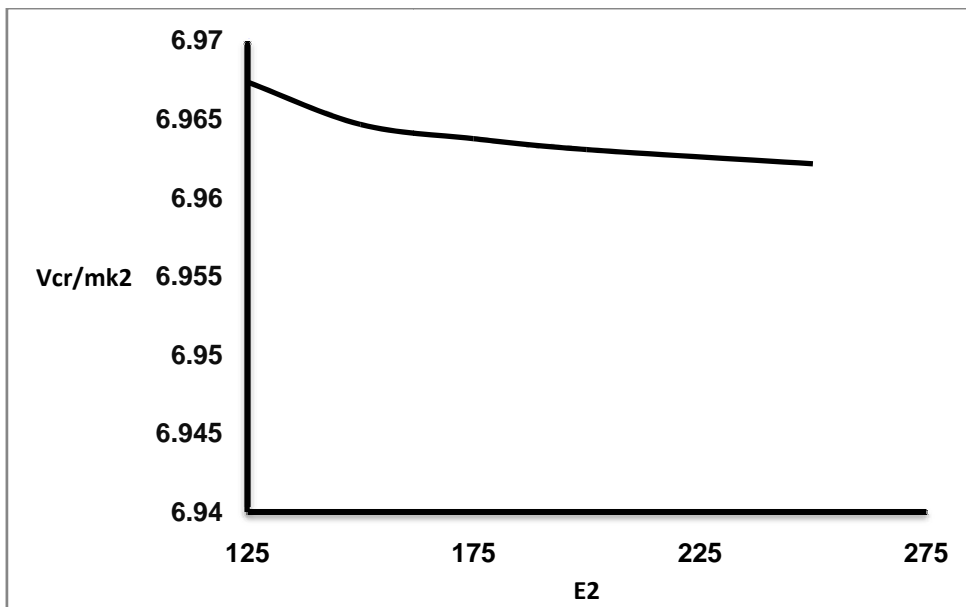
شکل ۱۲- تغییرات سرعت بحرانی بر حسب ضریب انبساط طولی دیسک

با توجه به تصویر (۱۲) افزایش ضریب انبساط طولی دیسک تاثیر ناچیزی بر روی سرعت بحرانی دارد. با افزایش ضریب انبساط طولی دیسک چون دیسک فضای بزرگی نسبت به لنت دارد و همچنین انتقال حرارت دیسک بیشتر از لنت است افزایش ضریب انبساط طولی دیسک روی تشکیل نقاط داغ اثر کمتری دارد در نتیجه اثر کمی روی سرعت بحرانی خواهد داشت.



شکل ۱۳- تغییرات سرعت بحرانی بر حسب مدول الاسیته لنت

همانگونه که در شکل (۱۳) مشاهده می شود افزایش مدول الاسیته لنت باعث کاهش سرعت بحرانی خواهد شد.



شکل ۱۴- تغییرات سرعت بحرانی بر حسب مدول الاسيته دیسک

همانطور که در شکل (۱۴) مشاهده می‌شود با افزایش مدول الاسيته دیسک تغییرات سرعت بحرانی ناچیز است. این در حالی است که تغییرات سرعت بحرانی بر حسب مدول الاسيته در لنت قابل توجه می‌باشد. از تصاویر (۱۳) و (۱۴) این نتیجه بدست می‌آید که لنت نسبت به دیسک باید از جنس نرمتری انتخاب شود یعنی مدول الاسيته لنت باید کمتر از مدول الاسيته دیسک باشد.

نتیجه گیری

- ۱- تحلیل و مقایسه نتایج بدست آمده نشان میدهد که افزایش ضخامت دیسک با افزایش سرعت بحرانی رابطه مستقیم دارد. اما باید دقت شود که برای افزایش ضخامت دیسک محدودیت‌هایی از قبیل افزایش هزینه، افزایش وزن و افزایش فضای اشغال شده توسط دیسک وجود دارد و نمی‌توان بیش از حد مشخصی ضخامت دیسک را افزایش داد.
- ۲- همواره لنت باید از جنس نرمتری نسبت دیسک باشد زیرا در غیر اینصورت باعث ایجاد ترک بر روی دیسک خواهد شد و این مسئله دلیل انتخاب مدول الاسيته کم برای لنت می‌باشد.
- ۳- کم بودن ضریب انبساط طولی برای لنت باعث بالا بردن سرعت بحرانی شده و مفید می‌باشد.
- ۴- انتخاب لنت و دیسک از یک جنس بخصوص در ضخامت‌های کم دیسک بعلت کم شدن سرعت بحرانی توصیه نمی‌شود.
- ۵- بررسی‌ها نشان می‌دهد که انتخاب دیسک با ضریب رسانایی بالا و لنت با مدول الاسيته کم می‌تواند بهترین حالت به منظور بالا بردن عمر تجهیزات و کیفیت ترمز گیری باشد.

مراجع

- [1] Barber, J.R., "The Influence of Thermal Expansion on the Friction and Wear Process", Wear, Vol. 10, pp. 155-159, (1967).
- [2] Barber, J.R., "Thermoelastic Instabilities in the Sliding of Conforming Solids", Proc. Roy. Soc. Series A 312, pp. 381-394, (1969).
- [3] Anderson, A.E., and Knapp, RA., "Hot Spotting in Automotive Friction Systems", Int. Conf. on Wear of Materials, Vol. 2, pp. 673-680, Denver, USA, (1989).
- [4] Lee, K., and Barber, J.R., "Frictionally-excited Thermoelastic Instability in Automotive Disk Brakes", ASME J Tribology, Vol. 115, pp. 607-614, (1993).
- [5] Lee, K., and Barber, JR., , "The Effect of Shear Traction on Frictionally-excited Thermoelastic Instability", Wear, Vol. 160, pp. 237-242, (1993).
- [6] Afferrante, L., Ciavarella, M., and Decuzzi, P., "Thermoelastic Instability in a Thin Layer Sliding Between Two Half Plane: Transient Behavior", Tribology International, Vol. 36, pp. 205-212, (2000).

فهرست نمادهای انگلیسی

a: ضخامت نیم لایه

b: نرخ رشد

b^* : نرخ رشد بی بعد

c : سرعت مطلق اختلالات حرارتی

c_i : سرعت نسبی اختلالات حرارتی نسبت به جسم i

c_i^* : سرعت نسبی بی بعد اختلالات حرارتی نسبت به جسم i

c_p : گرمایی مخصوص

E: مدول الاستیسیته

f: ضریب اصطکاک

K: ضریب رسانایی گرمایی

K^* : ضریب رسانایی گرمایی بی بعد

k: ضریب نفوذ گرمایی

k^* : نرخ نفوذ گرمایی

l: طول موج

l_p : طول لنت

m : بسامد اختلال سینوسی ناشی از بارگذاری

P : فشار

q_{net} : اختلال در گرمایی اصطکاکی

q_y : شار گرمایی در جهت y

R : قسمت حقیقیتابع

T : درجه حرارت

t : زمان

u : جابجایی

V : سرعت لغزشی

V^* : سرعت لغزشی بی بعد

α : ضریب انبساط گرمایی

α^* : ضریب انبساط گرمایی بی بعد

η : قسمت موهمی λ

λ : ثابت جداساز

λ^* : بی بعد λ

m : مدول برشی

v : ضریب پواسون

Abstract

A disk brake stops a vehicle by converting kinetic energy into thermal energy. Concentration of frictional heating over zones smaller than the nominal friction interface can occur in brakes, thus leading to high localized temperature and mechanical pressure or on the other word hot spots. This feedback process is generally found to be unstable and is called thermoelastic instability. The resulting high local temperatures and thermal stresses in hot spots also have various undesirable effects such as material transformation, thermal cracking, brake fade and thermoelastic buckling of disks. In this paper different materials for disk and pads brake are considered and their behavior in contact process is investigated. At the end, the best materials for disk and pads from the efficiency point of view have been proposed.